

I-66 一定軸力と漸屈曲げモーメントを受ける連続(ばり)の弾塑性解析

九州大学工学部 正員 山崎徳也

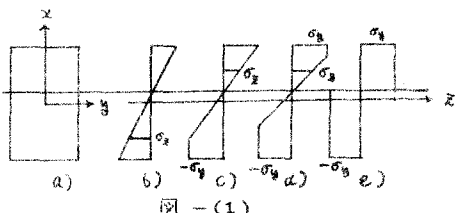
〃 大学院 学生員 太田俊昭

〃 大学院 学生員 〇後藤栄一

§1 章言 一定軸力と曲げの組合せ応力を受ける矩形断面の連続(ばり)の弾塑性解析を行つたため、本論は先に著者らが考察した単純曲げに対する補足エネルギー法¹⁾と(3)-手法によつて、かかる組合せ応力に対する補足エネルギーの実用式を誘導し、これに基づくエネルギー法の確立を図つたものだ。在來の弾性分野のエネルギー法と同様、計算手法上の簡易性と適用面の多様性において勝れどおり、しかも充分の精度をうるなど、極めて有効な实用解法であるといえる。

§2 補足エネルギー法

図-(1)(a)に示す矩形断面ばりの一軸N、および素和曲げモーメントMを受けるとき、塑性解析による用いられる仮定としてかぎらず、断面に生ずる応力分布は、図-(1)(b)の弾性状態より図-(1)(c)および(d)の第1および第2弾塑性状態をへて、図-(1)(e)の完全塑性状態に達する。



すこひも一軸モーメントM = $\int \sigma_x x dA$ 、軸力N = $\int \sigma_y dA$ を含む次の二式で表わされる。すなはち、

$$\text{第1弾塑性領域: } (M_{y1} \leq M \leq M_{y2}) , \quad M = (1-n)(3 - 2\sqrt{(1-n)/\varphi}) M_y$$

$$\text{第2弾塑性領域: } (M_{y2} \leq M \leq M_{yN}) , \quad M = \left\{ \frac{3}{2}(1-n^2) - \frac{1}{2}\left(\frac{1}{\varphi}\right)^2 \right\} M_y$$

ただし $M_{y2} = (1-n)M_y$: 弾性限界時の第1降伏モーメント

$M_{y2} = (1+n-2n^2)M_y$: 第1および第2弾塑性領域の境界における第2降伏モーメント
 $M_{yN} = 3/2(1-n^2)M_y$: 完全塑性モーメント

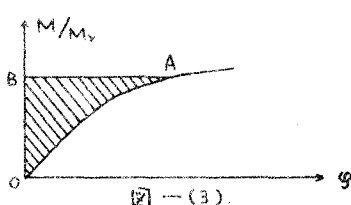
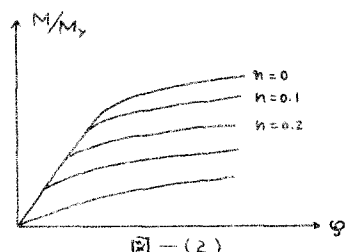
M_y : 単純曲げに対する降伏モーメント

$\varphi = \Phi/\Phi_0$, Φ : 固率, Φ_0 : 単純曲げに対する降伏時の曲率

$n = N/N_y$, N_y : 軸力が単独に働くときの降伏荷重

図-(2)はMとφとの関係をnをパラメータとして図示したもので、nが増すにつれて M/M_y が著しく減少する: これが認められる。一般に軸力と曲げを考慮した棒の単位長さ当たりに負うべき補足エネルギー(2), $dU/dS = \iint \sigma d\sigma dA = N^2/EA + \frac{1}{2}\Phi dM$ で定義され、曲げエネルギーを表わす第2項を考察すれば、明らかに 図-(3)の斜線の面積OABに相当する、しかもM-Φ曲線は必ず複雑な函数とえられ、面積OABはモーメントMの無理函数と表わさざることとなりその後の演算が繁雑となるのでこの難点を排除するため、M-Φ曲線を図-(4)で示すと2本の近似直線に置換すれば、面積の

$$A = \frac{1}{2} M^2 / EI \quad M_{y2} \leq M \leq M_{yN} \text{ で、面積 } OAB = \frac{M^2}{2EI} + n_i \frac{(M-M_{y2})^2}{2EI}$$



$$M_{yE} \leq M \leq M_{yN} \text{ で面積 } OAB = \frac{M^2}{2EI} + \gamma_1 \frac{(M-M_{y1})^2}{2EI} + \gamma_2 \frac{(M-M_{y2})^2}{2EI}$$

$$\text{ただし } \gamma_1 = \gamma_1' - 1, \quad \gamma_2 = \gamma_2' - \gamma_1'$$

上記置換。近似直線の勾配を規制する γ_1' , γ_2' 。決定に際しては、先に著者らが単純曲げに対する補足エネルギーの実用式を求める際に用いたエネルギー等置法によればよし。結果の形を示せば、それが次のごとくなる。

$$\gamma_1' = 1/(1-n), \quad \gamma_2' = 4(1+n^2)/(1-n)^3,$$

以上から、軸力を曲げの組合せ荷力を受けるばかり金体に働くえられる補足エネルギーは

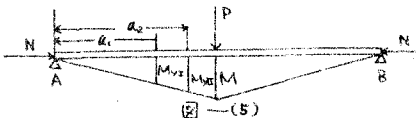
$$U = \int \frac{M^2}{EI + p_1 2EI} ds + \gamma_1 \int \frac{(M-M_{y1})^2}{p_1 2EI} ds + \gamma_2 \int \frac{(M-M_{y2})^2}{p_2 2EI} ds + \int \frac{N^2}{EI + p_1 + p_2 2EI} ds \quad (1)$$

ただし積分区間を示す添字 E は弾性領域を、 p_1 は第 1 弹塑性領域を、また p_2 は第 2 弹塑性領域を示すやうす。

§3. 解法 以上の諸式を用いて、一定軸圧縮力 N と部材の中央に漸増集中荷重 P を受ける矩形等断面の単純ばねを対象として、中央点のたわみを P が零から最終崩壊荷重 P_c に達するまでの値に於いて算定すれば次のようになる。(図-5 参照)

式(1)に変分原理を適用すれば

$$\delta = \frac{\partial U}{\partial P} = 2 \left(\frac{M}{EI} \frac{\partial M}{\partial P} dx + \gamma_1 \frac{\gamma_1(M-M_{y1})}{a_1 EI} \frac{\partial M}{\partial P} dx + \gamma_2 \frac{\gamma_2(M-M_{y2})}{a_2 EI} \frac{\partial M}{\partial P} dx \right) = \frac{P l^3}{48 EI} (1 + \gamma_1 + \gamma_2) - \frac{l^2}{8 EI} (\gamma_1 M_{y1} + \gamma_2 M_{y2}) + \frac{2(\gamma_1 M_{y1}^3 + \gamma_2 M_{y2}^3)}{3 P^2 EI}$$

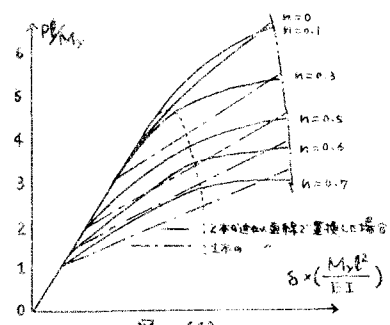


上式より各セグメントの関係を式をパラメータとして図示すれば図-6 のようになり。M - 中曲線を固定にして求めた補足エネルギーに基づく最密解との比較による誤差はたかだか 1% に過ぎなかつた。

(ただし図-6 中の i 点鎖線は、M - 中第 1 近似直線に基づく結果である)。誤差をもつことが認められぬ。なお式の説明は省略する。)

次に不静定ばねに対する解法も全く同様である。式(1)に変分原理を適用したうえで未知量、塑性領域を境界にあける適合条件を用いて近似近似法により決定すればよい。

これにつづく詳説は講演時に発表するつもりである。



§4. 結び 本研究の結果、一定軸力を曲げを受ける鉛直断面の場合は構造物に対する補足エネルギー法が弾塑性分野においても实用可靠となり、実際の連続ばねやラーメンに適用するには、あらかじめ適当なメニトやたわみ角の公式を導入しておけば、弾性の場合と同様に各取扱いの分野において本法の価値を充分發揮しうるものである。

文献 1) 山崎 太助：塑性領域に拘束したエネルギー法、